

CIA



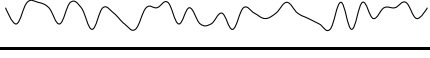
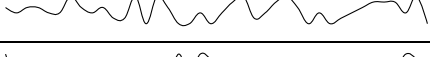
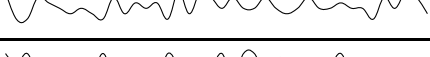
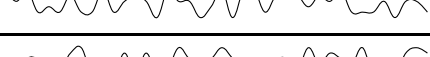

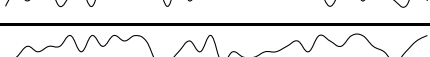
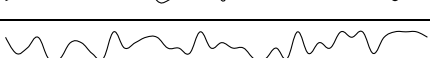
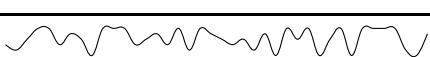
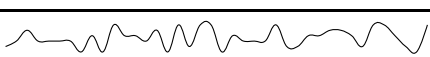
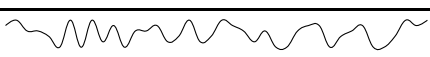
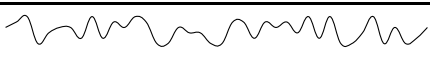



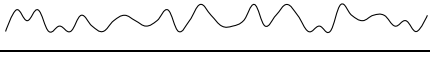
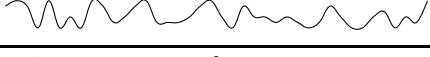

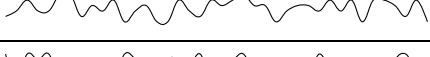
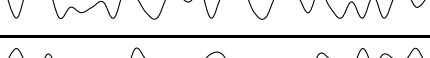
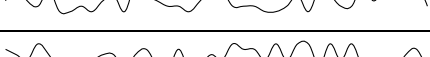
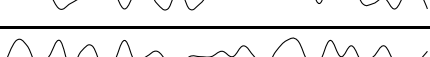
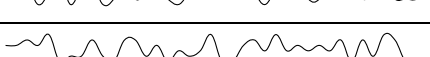

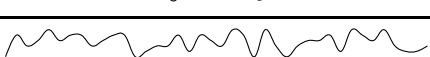
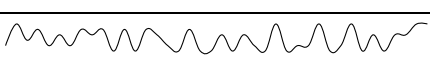
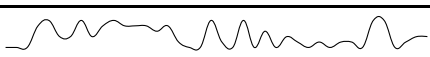
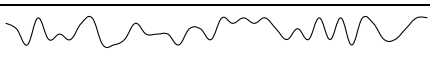


CENTRAL INTELLIGENCE AGENCY



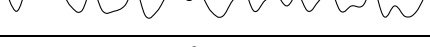
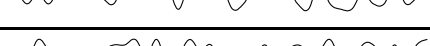






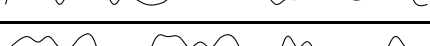
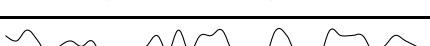
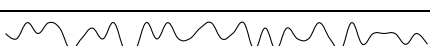



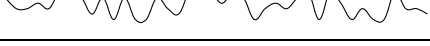
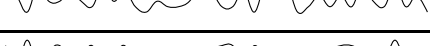
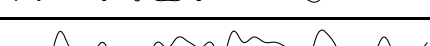
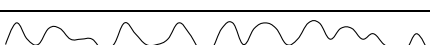



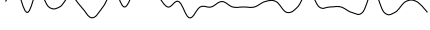





Operace: GHOST VERTEX

Lokace: Základna CIA, Hoštejn

ID: 7641580034

Datum	Čas	Záznam signálu	Zaznamenané lokace
2022/08/04	01:31:25		C12, L3, F8, M17, Y15
2022/08/04	02:13:42		F5, V23, E22, K8, R22, Y21
2022/08/04	07:22:47		J10, H10, F4, S7
2022/08/04	08:17:52		U16, A12, W22, J15, A5, Y1
2022/08/04	10:25:37		U11, S13, N5, E17, C26, C24
2022/08/04	16:14:01		M4, J24, T5, D21, I26, T7
2022/08/04	19:41:41		C7, S23, O3, T19
2022/08/05	00:48:34		V4, Q14, X7, W25
2022/08/06	00:28:48		K19, N3, U12, W10, P15
2022/08/06	01:09:17		R1, D24, I20, Q21
2022/08/06	11:21:42		O18, I14, V8, K11
2022/08/06	18:09:33		U25, A3, B5, Z25, R9, H25
2022/08/07	18:30:27		O11, R14, I21, U24
2022/08/07	22:11:02		N5, F26, G12, B26, J4, Z26
2022/08/08	01:18:45		D19, T3, B1, U24
2022/08/08	05:45:36		J24, Y14, M2, U17, R22
2022/08/08	08:52:38		N3, T22, J14, B20
2022/08/09	11:02:46		A5, O6, O11, T23, D12, K25
2022/08/09	12:49:35		B2, Q7, R9, E7
2022/08/09	14:41:34		X16, Q19, Z6, Q14, Z19
2022/08/09	15:44:01		E1, K7, V23, M4, Z3
2022/08/09	16:14:10		N22, K8, E5, G19, H24
2022/08/09	20:03:32		R12, O23, V9, F1
2022/08/10	00:25:32		N3, J15, L22, Y6, Z24
2022/08/10	06:07:24		N14, Y10, Y4, P8, M10
2022/08/10	09:45:22		N10, D21, E16, A14, F15, Y4
2022/08/10	10:33:58		E8, N25, F18, S15, I4, Y19
2022/08/10	12:26:26		B23, G13, G1, F10, Y1, M4
2022/08/10	20:49:11		T12, F2, S9, K9, C11
2022/08/11	00:13:12		T9, A5, U17, D1, Z13, F12
2022/08/11	16:45:27		J5, S5, I10, W19, U6, D7

Datum	Čas	Záznam signálu	Zaznamenané lokace
2022/08/11	18:07:24		R9, B1, D11, L17, A11
2022/08/11	18:48:30		E8, A16, E17, D13, C20, U9
2022/08/11	23:21:38		B4, F8, B24, P1, T21
2022/08/12	04:18:50		H26, A15, R20, I9
2022/08/12	13:20:55		Q25, I10, X25, Z6, R16
2022/08/12	20:58:02		I20, Y15, H9, Z8, R10, R4
2022/08/12	23:43:31		B4, U11, A21, V6, L4, K8
2022/08/13	01:28:51		S19, J24, E15, X25
2022/08/13	13:02:19		V1, Y9, A7, Z24
2022/08/14	01:26:23		B22, E4, A25, A14, U26
2022/08/14	08:50:32		O1, W11, G24, B19
2022/08/14	11:50:23		D5, U6, Y15, N13, Q5, G26
2022/08/15	11:38:50		E17, B24, J23, A16, D9, U24
2022/08/16	10:04:12		D10, M5, D17, R9, N21, V12
2022/08/16	10:25:24		C13, J14, W5, P4, K21
2022/08/16	18:29:14		X5, I19, L8, P25, S13, M16
2022/08/16	22:50:25		Y15, X9, W11, Y17
2022/08/17	05:51:45		D21, E2, X3, N6, G17
2022/08/17	08:04:49		I10, R2, S14, U18
2022/08/17	21:30:54		D22, B19, D9, L22
2022/08/18	03:47:09		I8, V24, D4, B9, L11
2022/08/18	03:53:34		B16, K6, Z1, L1, W25, F14
2022/08/18	07:27:20		Q5, F2, T15, I13
2022/08/18	11:38:00		G16, N14, Z19, S3
2022/08/18	15:03:34		I13, O8, J14, A10, T10, Y16
2022/08/18	15:47:06		H12, J14, D21, Z8, P16
2022/08/18	20:50:37		E18, S19, T16, G22

OPERACE HEXAHEDRON

Operace Hexahedron slouží k monitorování elektromagnetického záření v radiovém spektru vyzařovaného Objektem. V okolní oblasti bylo ve dnech 4. – 6. 8. 2022 vybudováno celkem 6 měřících stanic, které jsou strategicky rozmístěny, aby eliminovaly rušení způsobené hustým lesním porostem.

K dosažení maximální přesnosti je nutné potvrdit zdrojovou lokaci požadovaného signálu na 3 měřících stanicích. Korektní oblast původu záření je ta, která byla naměřena každou z těchto 3 stanic.